



Semnan University

## Journal of Transportation Infrastructure Engineering

Journal homepage: <https://jtie.semnan.ac.ir/?lang=en>

ISSN: 2821-0549



### Research Article

# Modelling and Analysis of Flexural Behavior of Composite Sleepers Reinforced by Multi-Directional Glass Fabrics

Amir Ardalan Tabatabaie Zavareh<sup>a\*</sup>, Hamed Norouzi<sup>b</sup>, Seyed Mehdi Hejazi<sup>c</sup>

<sup>a</sup> Department of Railway Engineering and Transportation Planning, Faculty of Civil Engineering and Transportation, University of Isfahan (UI), Isfahan, Iran

<sup>b</sup> Assistant Professor, Department of Railway Engineering and Transportation Planning, Faculty of Civil Engineering and Transportation, University of Isfahan, Isfahan, Iran.

<sup>c</sup> Associate Professor, Department of Textile Engineering, Isfahan University of Technology, Isfahan 84156-83111, Iran.

### PAPER INFO

#### **Paper history:**

Received: 2024-06-14

Revised: 2024-06-17

Accepted: 2024-06-17

#### **Keywords:**

Railway track,  
Composite sleepers,  
Flexural strength,  
Glass fabrics.

### ABSTRACT

Over the past decade, glass fabrics have gained significant attention for use in the construction of concrete railway sleepers. Advances in composite technology have spurred extensive research into glass-based composite materials, suggesting their potential as replacements for traditional sleepers. However, the impact of three-dimensional (3D) glass fabrics on reinforcing concrete sleepers and the optimal application of these fabrics has not been sufficiently explored. Additionally, there has been no comparative analysis of the flexural strength between concrete sleepers reinforced with glass fabrics and those reinforced with steel rebars. This study investigates the potential of Glass Fiber Reinforced Concrete (GFRC) fabrics as an alternative for concrete railway sleepers. Laboratory-scale concrete sleeper samples were prepared and reinforced with two-dimensional (2D) and three-dimensional (3D) glass fabrics, covering 50% and 70% of the surface area. Flexural strength tests were conducted on these samples, and their validity was confirmed through finite element analysis using Abaqus software. The empirical results from small-scale tests were extrapolated to estimate the performance of full-sized sleepers. The findings indicate that the use of 3D fabrics can increase flexural strength and crack resistance by up to 20% and 30%, respectively. Moreover, 3D fabrics with 70% surface coverage can further enhance flexural strength by 15%. GFRC sleepers meet all standards and performance requirements for commercialization, showing up to 25% higher flexural strength and up to 40% improved crack resistance compared to conventional concrete sleepers.

\* Corresponding author.

E-mail address: [ardalantabatabaiez@gmail.com](mailto:ardalantabatabaiez@gmail.com)

**How to cite this article** Tabatabaie, A. A., & Hejazi, S. M. (2024). Modelling and Analysis of Flexural Behavior of Composite Sleepers Reinforced by Multi-Directional Glass Fabrics. *Journal of Transportation Infrastructure Engineering*, 10(1), 81-102. <https://doi.org/10.22075/jtie.2024.34443.1676>



مقاله پژوهشی

## مدل‌سازی و تحلیل رفتار سازه‌ای تراورس‌های کامپوزیتی مسلح شده با پارچه‌های

### شیشه‌ای چندمحور

امیر اردلان طباطبایی زواره<sup>۱\*</sup>، حامد نوروزی<sup>۲</sup>، سید مهدی حجازی<sup>۳</sup>

<sup>۱</sup> کارشناس ارشد مهندسی خطوط راه‌آهن، گروه مهندسی راه آهن و حمل و نقل، دانشکده مهندسی عمران و حمل و نقل، دانشگاه اصفهان، اصفهان، ایران.

<sup>۲</sup> استادیار، گروه مهندسی راه‌آهن و حمل و نقل، دانشکده مهندسی عمران و حمل و نقل، دانشگاه اصفهان، اصفهان، ایران.

<sup>۳</sup> دانشیار، دانشکده مهندسی نساجی، دانشگاه صنعتی اصفهان، اصفهان، ایران ۸۴۱۵۶-۸۳۱۱۱.

### چکیده

در دهه اخیر، استفاده از پارچه‌های شیشه‌ای در ساخت تراورس‌های بتنی راه‌آهن مورد توجه قرار گرفته است. پیشرفت‌های فناوری در تولید کامپوزیت‌ها، مطالعات گسترهای را در زمینه استفاده از مصالح کامپوزیتی بر پایه شیشه به دنبال داشته که نشان می‌دهد این مصالح می‌توانند جایگزین مناسبی برای تراورس‌های رایج باشند. با این حال، تحقیقات کافی در مورد تأثیر پارچه‌های شیشه‌ای سه‌بعدی (3D) برای تقویت تراورس‌های بتنی و میزان بهینه استفاده از این پارچه‌ها انجام نشده است. همچنین، مقایسه‌ای بین تراورس‌های بتنی تقویت شده با پارچه‌های شیشه‌ای و تراورس‌های مسلح به میلگردهای فولادی از نظر مقاومت خمی صورت نگرفته است. این مطالعه، به بررسی پتانسیل پارچه‌های شیشه‌ای کامپوزیتی (GFRC) به عنوان جایگزینی برای تراورس‌های بتنی می‌پردازد. نمونه‌های کوچک تراورس بتنی در مقیاس آزمایشگاهی تهیه شده و با پارچه‌های شیشه‌ای دوچهته (2D) و سه‌جهته (3D) با پوشش‌های ۵۰٪ و ۷۰٪ سطح مسلح شده‌اند. آزمایش‌های مقاومت خمی روی این نمونه‌ها انجام شده و با استفاده از تحلیل المان محدود و نرم‌افزار آباکوس، صحبت‌سنگی شده است. نتایج تجربی از آزمون‌های نمونه‌های کوچک برای تخمین عملکرد تراورس‌های با ابعاد واقعی به کار رفته‌اند. یافته‌ها نشان می‌دهد که استفاده از پارچه‌های 3D می‌تواند مقاومت خمی و مقاومت در برابر ترک خوردنگی را به ترتیب تا ۲۰٪ و ۳۰٪ افزایش دهد. استفاده از پارچه‌های 3D با پوشش ۷۰٪ سطح، مقاومت خمی را تا ۱۵٪ بیشتر می‌کند. تراورس‌های GFRC با استانداردها و الزامات عملکردی لازم برای تجاری‌سازی مطابقت دارند و مقاومت خمی آن‌ها تا ۲۵٪ بیشتر از تراورس‌های بتنی معمولی است. این تراورس‌های جدید همچنین تا ۴۰٪ مقاومت بیشتری در برابر ترک خوردنگی دارند.

### اطلاعات مقاله

دریافت مقاله: ۱۴۰۳/۰۳/۲۵

بازنگری مقاله: ۱۴۰۳/۰۳/۲۸

پذیرش مقاله: ۱۴۰۳/۰۳/۲۸

### واژگان کلیدی:

خطوط راه‌آهن،

تراورس‌های کامپوزیتی،

مقاومت خمی،

پارچه‌های شیشه‌ای.

\* پست الکترونیک نویسنده مسئول: ardalantabatabaeiz@gmail.com  
استناد به این مقاله: طباطبایی زواره، امیر اردلان & حجازی، سید مهدی. (۱۴۰۳). مدل‌سازی و تحلیل رفتار سازه‌ای تراورس‌های کامپوزیتی مسلح شده با پارچه‌های شیشه‌ای چند محور. مهندسی زیر ساخت‌های حمل و نقل. (۱۰)، ۱۱، ۱۰۲-۸۱.

<https://doi.org/10.22075/jtie.2024.34443.1676>

This is an open access article under the CC-BY 4.0 license. (<https://creativecommons.org/licenses/by/4.0/>)

مسئله می‌تواند باعث کاهش وزن بتن، هزینه حمل و نقل و احتمال خوردگی تراورس‌ها شود.

شکریه و رحمت (۲۰۲۰) به بررسی استفاده از کامپوزیت‌های کربن/اپوکسی و شیشه/اپوکسی برای بهبود ظرفیت تحمل بار تراورس‌ها پرداختند. آن‌ها دریافتند که کامپوزیت‌ها ظرفیت تحمل بار را افزایش می‌دهند. اما بررسی دقیقی روی رفتار بلندمدت و اثرات محیطی انجام نداده‌اند. فردوس و همکاران (۲۰۲۱) امکان استفاده از یک تیر کامپوزیت FRP به عنوان جایگزین تراورس بتنی راچ را مطالعه کردند و نشان دادند که این تیرها می‌توانند استانداردهای صنعتی را برآورده کنند. با این حال، به مقایسه رفتار خستگی و دوام تراورس‌ها در شرایط واقعی نپرداخته‌اند. آزادو و همکاران (۲۰۲۲) رفتار خمی تیرهای بتنی کامپوزیت GFRP را بررسی کردند. این مطالعه نشان داد که ترکیب الیاف پلی‌اولفین می‌تواند مقاومت خمی را بهبود بخشد؛ اما اثرات بلندمدت و مقایسه با تقویت‌کننده‌های فولادی در شرایط محیطی مختلف بررسی نشده است. هدود و همکاران (۲۰۲۳) استفاده از GFRP در تراورس‌های بتنی ریلی را بررسی کردند. آن‌ها دریافتند که تراورس‌های GFRP می‌توانند معیارهای عملکردی استانداردهای مرتبط را برآورده کنند؛ اما به تحلیل جامع اثرات دینامیک و بارهای چرخه‌ای پرداخته نشده است. لی و همکاران (۲۰۲۱) استفاده از پودر سیلیس با الیاف فولادی و الیاف شیشه در افروندنی‌های بتن تراورس را بررسی کردند و دریافتند که این ترکیب‌ها می‌توانند خواص مکانیکی را بهبود بخشدند. این پژوهش به بررسی اثرات محیطی و پایداری بلندمدت این مواد نپرداخته است. سیاه‌کوهی و همکاران (۲۰۲۳) از مصالح لاستیکی و شیشه‌ای بازیافتی برای تغییر طراحی مخلوط تراورس‌های بتنی راه‌آهن استفاده کردند. نتایج نشان داد که بتن‌های تقویت شده با الیاف شیشه عملکرد بهتری نسبت به بتن‌های تقویت شده با الیاف لاستیکی دارند؛ اما به بررسی رفتار ترک‌خوردگی و دوام بلندمدت

## ۱. مقدمه

تراورس‌های راه‌آهن اجزای حیاتی خطوط ریلی هستند که نقش حمایت و حفظ ثبات ریل‌ها را دارند و بارهای ناشی از قطارها را به لایه بالاست منتقل می‌کنند. کیفیت و دوام تراورس‌های راه‌آهن به طور مستقیم بر امنیت و کارایی حمل و نقل ریلی تأثیر می‌گذارد. بنابراین، انتخاب مصالح مناسب و روش‌های طراحی بهینه برای ساخت تراورس‌های راه‌آهنی که بتوانند نیازهای سازه‌ای را به بهترین شکل ممکن برآورده سازند، بسیار ضروریست.

تراورس‌های بتنی به دلیل مزایایی نظیر مقاومت زیاد، عمر طولانی، هزینه نگهداری کمتر، و مقاومت بهتر در برابر آتش و فرسایش، در شبکه‌های راه‌آهن مدرن به طور گسترده‌ای مورد استفاده قرار گرفته‌اند. با این حال، تراورس‌های بتنی معايیت نیز دارند؛ از جمله مصرف انرژی زیاد جهت تولید، وزن زیاد، هزینه‌های حمل و نقل زیاد و آسیب‌پذیری در برابر ترک‌خوردگی و همچنین خوردگی در شرایط محیطی نامناسب. این معايب، به چالش‌هایی برای پایداری و دوام تراورس‌های بتنی تبدیل شده است. تقویت‌کننده‌های راچ، همچون میلگرد‌های فولادی، در حالی که مقاومت بتن را بهبود می‌بخشند، محدودیت‌هایی نظیر وزن زیاد، تمرکز تنش و خوردگی نیز به همراه دارند.

برای برطرف کردن این معايب، پژوهشگران استفاده از بتن تقویت‌شده با الیاف (FRC) را به عنوان جایگزینی برای تراورس‌های بتنی مسلح راچ مدنظر قرار داده‌اند. FRC یک نوع کامپوزیت است که از ماتریس سیمانی و انواع الیاف تقویت‌کننده تشکیل شده است که در محیط ماتریس پخش شده‌اند و باعث تقویت عملکرد بتن می‌شوند. الیاف استفاده شده در FRC به عنوان مهارکننده‌های ترک عمل کرده و رفتار پس از ترک‌خوردگی و انعطاف‌پذیری کل کامپوزیت را بهبود می‌بخشند. استفاده از FRC می‌تواند منجر به کاهش استفاده از مسلح‌کننده‌های فولادی مورد نیاز شود، که این

پرداخته شده است. شناخت ویژگی‌های فیزیکی و شیمیایی مصالح، راهی برای شناخت ویژگی‌های بتن تازه و سخت‌شده فراهم می‌آورد. مصالح مصرفی شامل مصالح سنگی، سیمان، آب و پارچه‌های شیشه‌ای دومحوره و سه‌محوره است.

## ۱-۲. مشخصات مصالح مصرفی

در این تحقیق، از شن و ماسه کوهی خرد شده با حداکثر اندازه ۱۲/۵ که از معدن شتک اصفهان به دست آمده استفاده شده، که دانه‌بندی آن در جدول ۱ ارائه شده است. سیمان مورد استفاده در این تحقیق، سیمان نوع یک از کارخانه سیمان ارستان بود و برای ساخت نمونه‌های بتنی، از آب آشامیدنی استفاده شد.

این مصالح پرداخته نشده است.

این پژوهش به‌دلیل توسعه و ارزیابی یک ماده نوین و پایدار جهت ساخت تراورس‌های راه‌آهن است که می‌تواند محدودیت‌های تراورس‌های بتونی معمولی را برطرف کرده و عملکرد و دوام بهتری را به همراه داشته باشد. این تحقیق همچنین شواهد تجربی و عددی متناسبی جهت امکان‌سنجی استفاده از این تراورس‌ها برای کاربرد در صنعت راه‌آهن ارائه می‌دهد.

## ۲. ساخت نمونه

در این بخش، به بیان مشخصات و ویژگی‌های مصالح مورد استفاده در انجام تحقیق، نسبت مخلوط‌های به کاررفته، نحوه آماده‌سازی نمونه‌ها و انجام آزمایش‌ها

جدول ۱. دانه‌بندی بتن آزمایشگاهی

شماره الک (#)	اندازه الک (میلی‌متر)	درصد عبوری
۱/۵	۳۷/۵	۱۰۰
۱	۲۵	۱۰۰
۳/۴	۱۹	۹۲
۱/۲	۱۲/۵	۸۵
۳/۸	۹/۵	۷۳
۱/۴	۶/۳۵	۶۷
۴	۴/۷۵	۵۴
۸	۲/۳۶	۴۰

مختلفی مانند ساخت قطعات وسایل نقلیه و هوایپما، تجهیزات ورزشی و بدنه کشتی‌ها استفاده می‌شوند. اما مهم‌ترین محل استفاده و کاربرد پارچه‌های شیشه‌ای در صنعت تقویت سازه‌ها، پوشش‌های محافظتی، روکش و آب‌بندی اجزاء است. در شکل ۱، تصویری از پارچه‌های شیشه‌ای دومحوره ارائه شده است.

علاوه بر این، دو نوع پارچه شیشه‌ای 2D و 3D در این تحقیق استفاده شدند. پارچه شیشه‌ای 2D در واقع یک پارچه مت Shank از الیاف شیشه‌ای تار و پود است که بدون افزایش قابل توجهی در وزن یا ضخامت، کارایی و مقاومت بیشتری نسبت به پارچه‌های شیشه‌ای تک‌جهتی دارد. امروزه، پارچه‌های شیشه‌ای 2D در زمینه‌ها و صنایع



شکل ۱. پارچه‌های شیشه‌ای دو محوره

- قراردادن پارچه 3D با مساحت ۵۰ درصد  
نسبت به مقطع
- قراردادن پارچه 2D با مساحت ۷۰ درصد  
نسبت به مقطع
- قراردادن پارچه 3D با مساحت ۷۰ درصد  
نسبت به مقطع

باید توجه داشت که برای هر نمونه تجربی، سه مدل مشابه برای افزایش ضریب اطمینان تهیه شده و مورد آزمایش قرار گرفت.

پس از آماده‌سازی مخلوط بتن، به صورت لایه‌ای با عمق حدود ۵ سانتی‌متر در قالب روغن کاری شده ریخته شد. بتن با استفاده از یک ماله در قالب ریخته شد. برای جلوگیری از جداشدن سنگدانه‌ها در هنگام قالب‌گیری نمونه‌های بتونی در ظرف مخلوط، آنها با ماله مخلوط شدند. پس از ریختن بتن در قالب‌ها، هر لایه به صورت دستی با استفاده از میله متراکم‌کننده فشرده شد. برای فشرده‌سازی مناسب، ضربات میله به طور یکنواخت توزیع شدند. حداقل ۳۵ ضربه برای هر لایه در نظر گرفته شد. ضربات به لایه پایینی وارد شدند. فشرده‌سازی با لایه بالایی تکمیل شد. در نهایت، با استفاده از ماله، سطح بتن با قالب تراز شد و با یک صفحه شیشه‌ای پوشانده شد تا

## ۲-۲. روش ساخت نمونه‌ها و آماده‌سازی آن‌ها برای آزمایش

برای انجام آزمایش مقاومت خمشی، از قالب‌هایی با ابعاد  $10 \times 10 \times 40$  سانتی‌متر مطابق با استاندارد ASTM C1018 استفاده شد. این قالب‌ها از جنس فولاد و به ضخامت ۳ میلی‌متر بودند. قالب‌ها قابل باز شدن بودند تا نمونه‌ها به راحتی از آن‌ها خارج شوند. همچنین، دستگاهی برای نگهداشتن آن‌ها در حین استفاده بسته فراهم شده بود. برای ساخت نمونه‌های بتونی، از یک میکسر تیغه‌ای با ظرفیت اسمی ۵۰ لیتر استفاده شد. همچنین، در این تحقیق، از یک میله متراکم‌کننده برای فشرده‌سازی نمونه بتونی استفاده شد. این میله، یک میله فولادی صاف با مقطع دایره‌ای و سری نیمکره‌ای با قطر مشابه مقطع میله بود. قطر میله متراکم‌کننده ۱۶ میلی‌متر و طول آن ۶۰۰ میلی‌متر بود.

برای انجام این تحقیق، چهار مدل از هر یک از نمونه‌ها آماده شدند که هر کدام به ترتیب شرایط زیر را داشتند:

- قراردادن پارچه 2D با مساحت ۵۰ درصد  
نسبت به مقطع

۲۵ درجه برای ۲۸ روز غوطهور شدند و تا زمان انجام آزمایش در آنجا باقی ماندند. برای آزمون هر متغیر، سه نمونه تهیه و مورد آزمایش قرار گرفت. در نهایت، آزمایش خمسم سه نقطه‌ای بر اساس استاندارد ASTM C78 در آزمایشگاه مکانیک خاک اصفهان انجام شد.

از تبخیر جلوگیری شود. در لایه نهایی بتن، سعی شد بتن بیشتری ریخته شود تا پس از فشرده‌سازی، قالب بتن کاملاً پر شود.

در این تحقیق، نمونه‌های بتنی پس از ۲۴ ساعت از قالب‌ها باز شده، علامت‌گذاری شدند و در آب با دمای



شکل ۲. نمونه تحت آزمون خمسم

$$\sigma_f = \frac{3FL}{2bd^2} \quad (1)$$

$$\epsilon_f = \frac{6Dd}{L^2} \quad (2)$$

$$E_f = \frac{mL^3}{4bd^3} \quad (3)$$

که،  $\sigma_f$  تنش خمسم روی سطح بیرونی،  $\epsilon_f$  کرنش خمسم روی سطح بیرونی،  $E_f$  مدول الاستیسیته خمسمی،  $b$  نیروی اعمال شده توسط سنبه،  $L$  فاصله تکیه‌گاه‌ها،  $D$  عرض نمونه،  $d$  ضخامت نمونه،  $m$  حداقل انحراف نمونه، و  $m$  شبی الاستیک است.

آزمایش اسلامپ بر اساس استاندارد ASTM C143 انجام شد. در این آزمایش، از یک مخروط فلزی مقطع با ارتفاع ۳۰۵ میلی‌متر، قطر پایه ۲۰۳ میلی‌متر و قطر پایه کوچکتر در بالای ۱۰۲ میلی‌متر استفاده شد. در شرایط آزمایشگاهی و با کنترل دقیق بر مصالح مخلوط بتن، اسلامپ بتن می‌تواند معیاری برای اندازه‌گیری مقدار آب

در آزمایش مقاومت خمسمی، بیشینه تنش کششی نظری در رشته‌های پایینی تیر آزمایش رخ می‌دهد که به آن مدول شکست گفته می‌شود و در طراحی‌ها استفاده می‌شود. ارزش مدول شکست بستگی به ابعاد تیر و بیش از همه به شکل بارگذاری دارد. باید توضیح داده شود که آزمایش خمسم نوعی آزمایش خواص مکانیکی مصالح است، که در آن مقاومت نمونه در برابر خمسم اندازه‌گیری می‌شود. بار اولیه‌ای که می‌توان به سرعت اعمال کرد تا ۵۰ درصد از بار شکست نمونه است و از آن پس سرعت افزایش بار باید تنظیم شود به طوری که تنش رشته‌های انتهایی بخش بیش از ۱۰ کیلوگرم بر سانتی‌متر مربع در دقیقه افزایش نیابد. برای استخراج نتایج از آزمایش خمسم، لازم است مقادیر متغیرهایی که در ادامه دقیقاً ارائه شده‌اند اندازه‌گیری شوند. این اندازه‌گیری‌ها ممکن است قبل یا بعد از آزمایش خمسم، بسته به نوع متغیر، انجام شوند. تنش خمسمی، کرنش خمسمی و مدول الاستیسیته خمسمی نمونه آزمایش به ترتیب با معادلات ۱ تا ۳ محاسبه می‌شوند.

تراورس در حداکثر شرایط آن ۳۰ سانتی‌متر و در حداقل شرایط آن، یعنی نقطه مرکزی بین دو بلوك تراورس، ۲۲ سانتی‌متر بود که تا عرض ۱۵ سانتی‌متر در بالاي تراورس ادامه داشت. عرض تکيه‌گاه‌های ريل حدود ۱۶ سانتی‌متر و حداکثر عرض تراورس در بالاي آن مربوط به دو لبه آن بود و برابر با ۱۸/۷ سانتی‌متر بود.

### ۳. بررسی و تحلیل نتایج

در این بخش، نتایج آزمایش‌های آزمایشگاهی و مدل‌سازی عددی ارائه شده‌اند. سپس، از روش درون‌یابی برای تخمين عملکرد تراورس‌های مقیاس کامل استفاده شده است.

#### ۱-۳. نتایج آزمایش اسلامپ

بر اساس استاندارد ASTM C143، اسلامپ تراورس بتني بايستي بين صفر و ۲۰ ميلى متر باشد. بنابراین، بتني که در آزمایشگاه برای تولید نمونه‌ها استفاده شد، سه بار در فواصل زمانی مختلف آزمایش شد. نتایج اسلامپ در تمام نمونه‌ها طبق جدول ۲ بين صفر و ۲۰ ميلى متر بوده است.

و نسبت آب به مصالح جامد بتن باشد، که رابطه معکوسی با مقاومت بتن خواهد داشت.

در بخش دوم این تحقیق، مدل‌سازی و تحلیل در نرم‌افزار آباکوس انجام شد. استفاده همزمان از تحلیل‌های عددی همراه با آزمایش‌های تجربی در آزمایشگاه، اعتبار این پروژه را به دو روش فراهم می‌کند: اول، درون‌یابی نمونه‌های مقیاس کوچک برای تخمين عملکرد تراورس‌های مقیاس کامل و مقایسه عملکرد آن‌ها با استانداردها و مقررات موجود برای تراورس‌های راه‌آهن انجام شد، و دوم، استفاده از نرم‌افزار تحلیل عددی، به ویژه نرم‌افزار آباکوس، برای تحلیل المان محدود مدل‌های تحقیق بسیار مورد توجه قرار گرفته است. نرم‌افزاری که برای مدل‌سازی در این تحقیق استفاده شد، نرم‌افزار آباکوس بود.

با توجه به رایج و گسترده بودن استفاده از تراورس B70، در مدل‌سازی تراورس این تحقیق، یک تراورس بلوكی تکی B70 مدل شد. باید توجه داشت که از آنجا که دقت در مدل‌سازی تراورس ارتباط مستقیمی با دقت نتایج خروجی از تحلیل آباکوس دارد، بنابراین، جزئیات و کوچکترین جزئیات در طراحی مدل رعایت شدند. طول محور به محور مدل تراورس ۲/۵ متر بود. عرض کف

#### جدول ۲. نتایج آزمون اسلامپ

کد نمونه	اسلامپ نمونه‌ها (میلی‌متر)
SC1	۷
SC2	۱۱
SC3	۹

نمونه‌ها امکان‌پذیر است. در نهایت، با استفاده از درون‌یابی بين نتایج فوق، مقادیر مربوط به تراورس‌های پیش‌تینیده با پارچه‌های شیشه‌ای به دست آمد. در جدول ۳، نتایج آزمایش خمس روي نمونه‌های مکعب مستطیلی تقویت‌شده با پارچه‌های شیشه‌ای که در آزمایشگاه مدل شدند، ارائه شده‌اند.

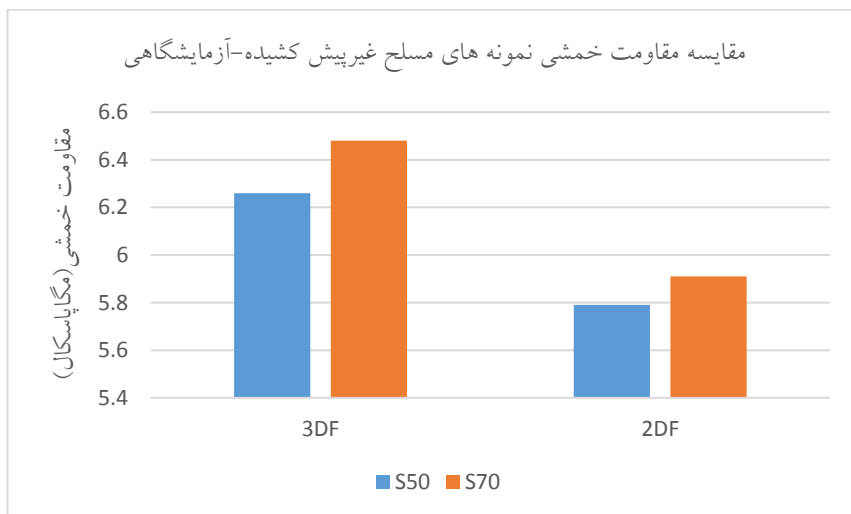
#### ۲-۳. نتایج آزمایش مقاومت خمی

در ادامه، هر دو حالت پیش‌تینیده و غیرپیش‌تینیده در نرم‌افزار آباکوس مدل شدند. در واقع، آباکوس امكان پیش‌تینیدگی را با یک ویژگی داخلی فراهم می‌کند. بنابراین، در آباکوس، مقایسه دو حالت پیش‌تینیده و عادي

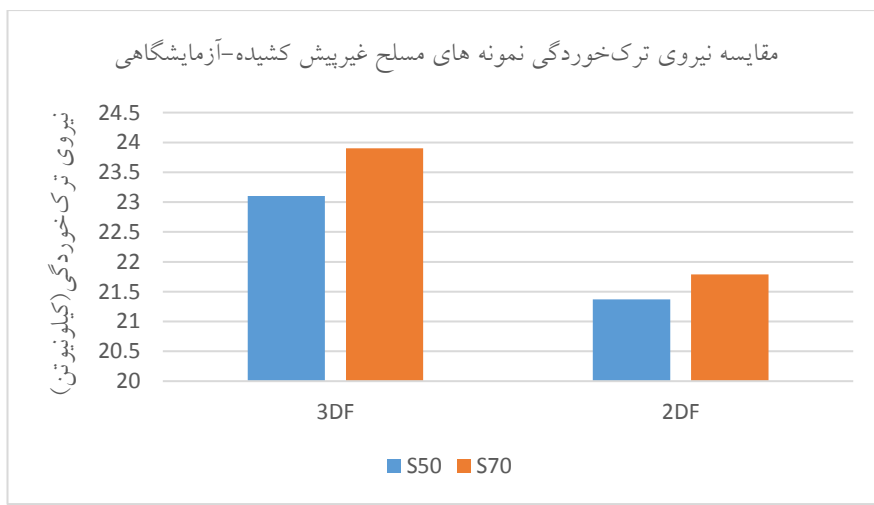
جدول ۳. نتایج آزمایشگاهی تست خمث

کد نمونه	میانگین مدول گسیختگی (MPa)	نیروی ترک خوردگی (kN)	نوع پارچه	درصد پوشش سطح
SC	۵/۴۰	۱۸/۴۶	-	-
SC2D50	۵/۷۹	۲۱/۳۷	2D	۵۰
SC3D50	۶/۲۶	۲۳/۱۰	3D	۵۰
SC2D70	۵/۹۱	۲۱/۷۹	2D	۷۰
SC3D70	۶/۴۸	۲۳/۹۰	3D	۷۰

در ادامه، مدول شکست و نیروی ترک خوردگی نمونه‌های تقویت شده با پارچه‌های شیشه‌ای 2D و 3D در شکل‌های ۳ و ۴ مقایسه شده‌اند.



شکل ۳. مقایسه مقاومت خمثی نمونه‌های مسلح غیرپیش کشیده-آزمایشگاهی



شکل ۴. مقایسه نیروی ترک خوردگی نمونه‌های مسلح غیرپیش کشیده-آزمایشگاهی

همانطور که در شکل ۳ مشاهده می‌شود، مقاومت پوشش می‌دهند، به طور قابل توجهی بیشتر از حالتی است که این مقدار به  $50\%$  (S50) می‌رسد. این تفاوت حدود  $4\%$  افزایش می‌یابد. همچنین، تفاوت در مقاومت خمثی نمونه‌های تقویت شده با پارچه‌های شیشه‌ای در حالتی که این پارچه‌ها  $70\%$  از مقطع عرضی (S70) را

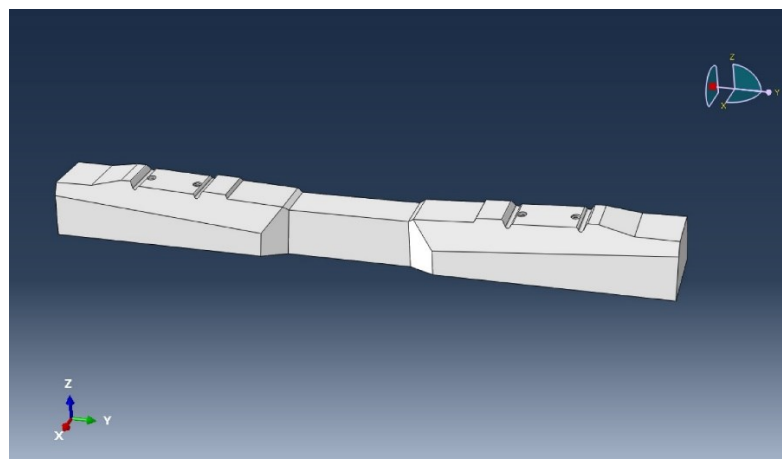
### ۳-۳. مدل‌سازی تراورس بتنی

در این بخش، مدل‌سازی تراورس بتنی در نرم‌افزار آباکوس به اختصار توضیح داده شده است.

#### ۳-۳-۱. پارچه‌ها و تراورس

در این بخش، تراورس بتنی B70 با دقت زیاد در نرم‌افزار مدل شده که در شکل ۵ نشان داده شده است. پارچه‌ها و تاندون‌ها نیز با طول  $2/5$  متر مدل شده‌اند.

خمشی نمونه‌های پارچه‌های 2D و 3D قابل توجه است. این تفاوت برای نمونه‌های با مساحت  $70\%$  حدود  $10\%$  و برای نمونه‌های با مساحت  $50\%$  حدود  $8\%$  می‌رسد. بر اساس شکل ۴، در مورد مقدار نیرویی که باعث ترک‌خوردگی نمونه‌ها می‌شود، روند مشابهی مشاهده می‌شود. این روند می‌تواند با برتری ویژگی‌های فنی پارچه‌های 3D نسبت به نوع 2D توجیه شود.

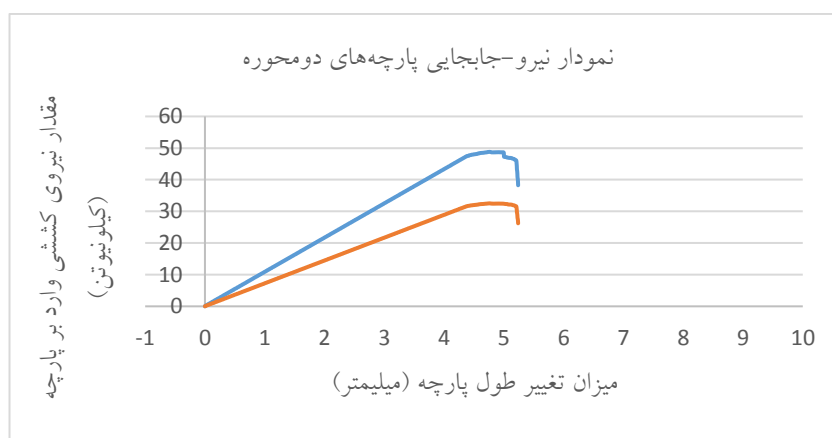


شکل ۵. تراورس مدل شده در آباکوس

آن‌ها  $1960$  و  $3540$  مگاپاسکال، و درصد افزایش طول (کشیدگی) آن‌ها به ترتیب  $3$  درصد و  $1/7$  درصد است. پارچه‌های مورد استفاده در این مطالعه، در آزمایشگاه نساجی دانشگاه صنعتی اصفهان برای تأیید مشخصات فنی آزمایش شدند. رفتار نیرو-جابجایی پارچه‌های مورد استفاده در شکل ۶ ارائه شده است.

### ۲-۳-۳. خواص مصالح

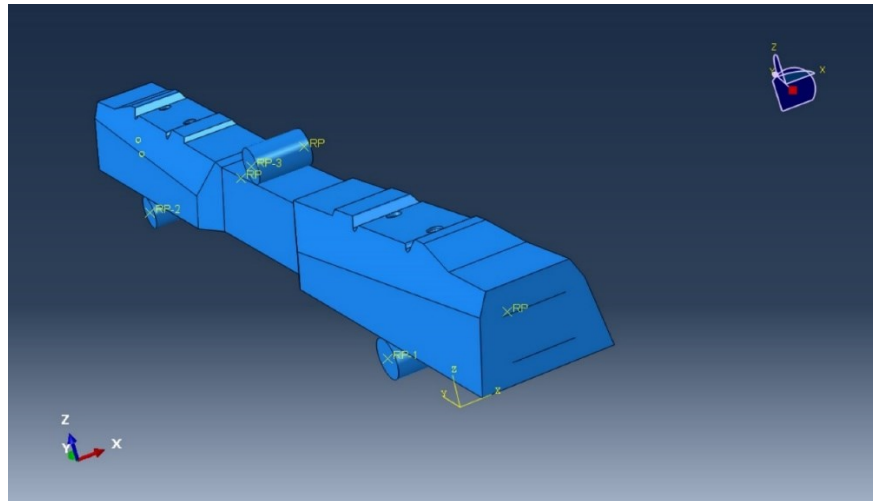
در این مدل‌سازی، از پارچه‌های با ضخامت‌های  $0/0$  و  $0/34$  میلی‌متر به عنوان پارچه‌های 2D و 3D به ترتیب استفاده شده است. مدول الاستیسیته پارچه‌های 2D و 3D به ترتیب  $70$  و  $130$  گیگاپاسکال، مقاومت کششی



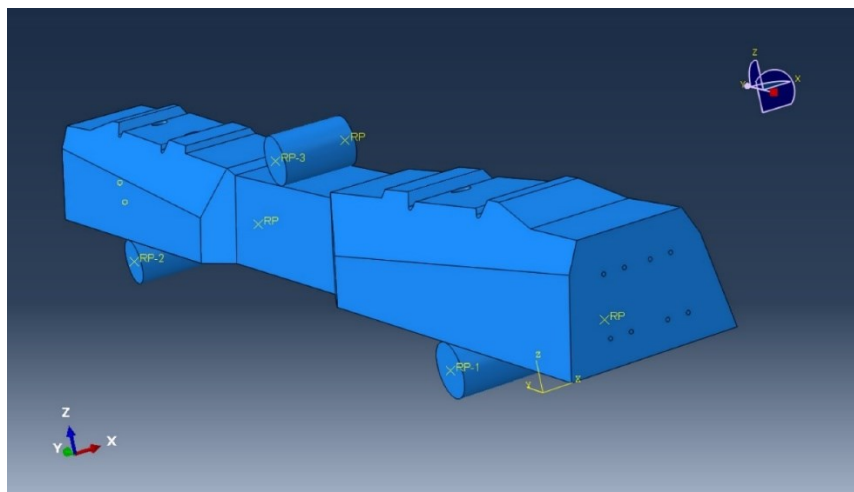
شکل ۶. مقایسه نمودار نیرو-جابجایی پارچه‌های دو و سه محور

اگر یک گره از قسمت تعییه شده روی یک عنصر از قسمت میزبان قرار گیرد، درجات آزادی انتقالی در گره حذف شده و گره به یک گره محدود می شود. مقادیر درجات آزادی انتقالی یک گره محدود به مقادیر درون یابی شده درجات آزادی قسمت میزبان محدود می شوند. در شکل های ۷ تا ۹، چیدمان پارچه ها و تاندون ها در تراورس مدل شده نشان داده شده است. باید توجه داشت که پارچه پایینی در فاصله حدود ۴/۷ سانتی متر از لبه پایینی تراورس و پارچه بالایی در فاصله ۱۰ سانتی متر از نمونه پایین تر قرار داده شده است.

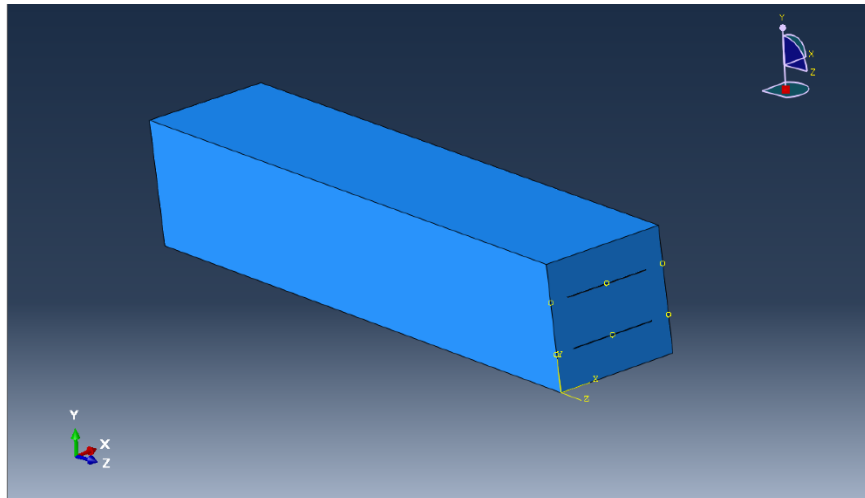
همچنین، در این مدل سازی، برای شبیه سازی تراورس های تقویت شده با میلگردهای فولادی، از تاندون های فولادی با مقاومت تسليم ۱۶۰۰ مگا پاسکال، مدول الاستیسیته ۲۱۰ گیگا پاسکال، نسبت پواسون ۰,۳ و قطر ۷ میلی متر استفاده شده است. در این مطالعه، پارچه ها و تاندون ها با تکنیک عنصر تعییه شده در بتون مدل شده اند. تکنیک عنصر تعییه شده برای مدل سازی یک قسمت در قسمت دیگری از مدل به عنوان میزبان استفاده می شود. این روش بیشتر برای مدل سازی میلگرد تعییه شده در بتون یا سایر عناصر مرکب در مدل سازی بتون سازه های بتون آرمه استفاده می شود. در نرم افزار آباکوس،



شکل ۷. جایگاه قرار گیری پارچه ها در تراورس



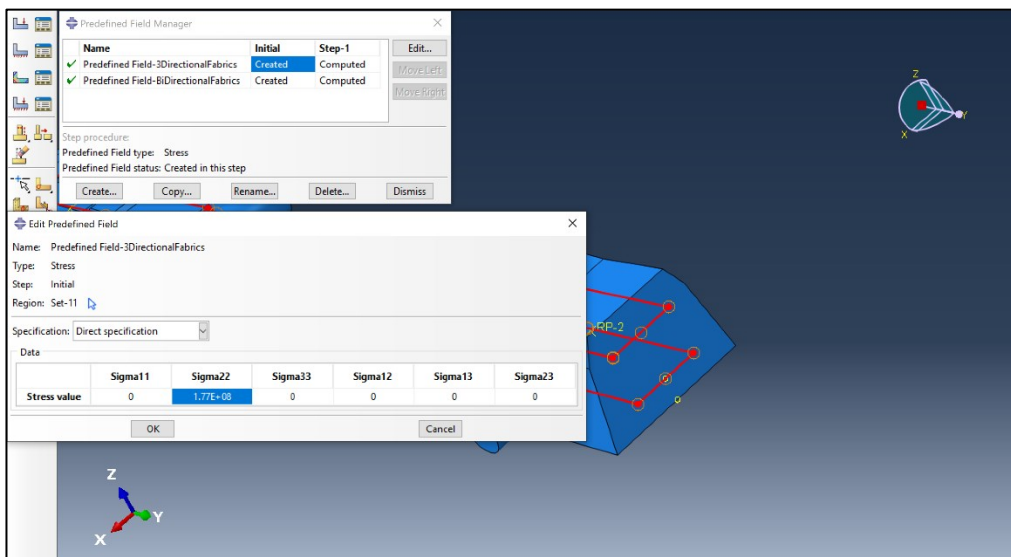
شکل ۸. جایگاه قرار گیری تاندون ها در تراورس



شکل ۹. جایگاه قرارگیری پارچه‌ها در مدل آزمایشگاهی

مدل‌سازی با تنش پیش‌تنیدگی ۰/۵٪ تنش نهایی پارچه‌ها بارگذاری شدند. این مقدار تنش پیش‌تنیدگی برای پارچه‌های دومحوره برابر با ۹۸۰ و برای پارچه‌های سه‌محوره برابر با ۱۷۷۰ مگاپاسکال است. روش اعمال تنش پیش‌تنیدگی در نرم‌افزار آباکوس در شکل ۱۰ نشان داده شده است.

برای اعمال تنش اولیه ناشی از پیش‌تنیدگی در پارچه‌ها و تاندون‌ها در این مطالعه، از قابلیت از پیش-تعريفشده نرم‌افزار آباکوس استفاده شد که به کاربر امکان می‌دهد تنش مورد نظر را به عنوان پیش‌تعیین شده به عنصر مربوطه در ابتدای تحلیل تعريف و اعمال کند. باید توجه داشت که پارچه‌های مورد استفاده در این



شکل ۱۰. نحوه اعمال تنش در مرحله پیش‌تنیدگی در نرم‌افزار آباکوس

مکان ریل قرار داده شدند و نمونه‌ها باید بدون شکست تحمل بار ۴۸ کیلونیوتون را داشته باشند. بر اساس استاندارد بین‌المللی ACI 318-19 برای یک تراورس بتونی عادی باید بین ۴۰ تا ۱۰۰

کمتر از ۳ میلی‌متر مطابق با استاندارد EN 13230-2 در ۳-۳. شرایط تکیه‌گاهی و اعمال بار نمونه‌ها تحت آزمایش خم شدن نقطه‌ای قرار گرفتند و بار در وسط تراورس‌ها اعمال شد. تکیه‌گاه‌ها با دقت کمتر از ۳ میلی‌متر مطابق با استاندارد EN 13230-2 در

به پارچه‌ها، بار محوری به تدریج با گام‌های ۱۰ کیلونیوتن تا ۱۰۰ کیلونیوتن افزایش یافت و به تراورس مدل شده اعمال شد. با این روش، امکان مطالعه رفتار تراورس تحت بارهای مختلف فراهم شد. همچنین، اطمینان حاصل شد که بار اضافی که باعث شکست زودرس می‌شود، اعمال نشود. افزایش گام به گام بار محوری اعمال شده به تراورس به صورت نشان داده شده در جدول ۴ انجام شد.

کیلونیوتن باشد. بار اولیه‌ای که می‌توان به سرعت اعمال کرد تا ۵۰ درصد از بار شکست نمونه‌ها بود و از آن پس سرعت افزایش بار باید تنظیم شود به طوری که تنש سیم‌های انتهایی بخش بیش از ۱۰ کیلوگرم بر سانتی‌متر مربع در دقیقه افزایش نیابد. همچنین، استاندارد آزمایش‌های مقاومت مصالح ساختمانی-BS EN 1992-1-1 توصیه می‌کند که بار محوری اعمال شده به تراورس باید با افزایش‌های ۱۰ تا ۲۰ کیلونیوتن به مقدار ۵۰ تا ۱۰۰ کیلونیوتن افزایش یابد. پس از اعمال پیش‌نیذگی

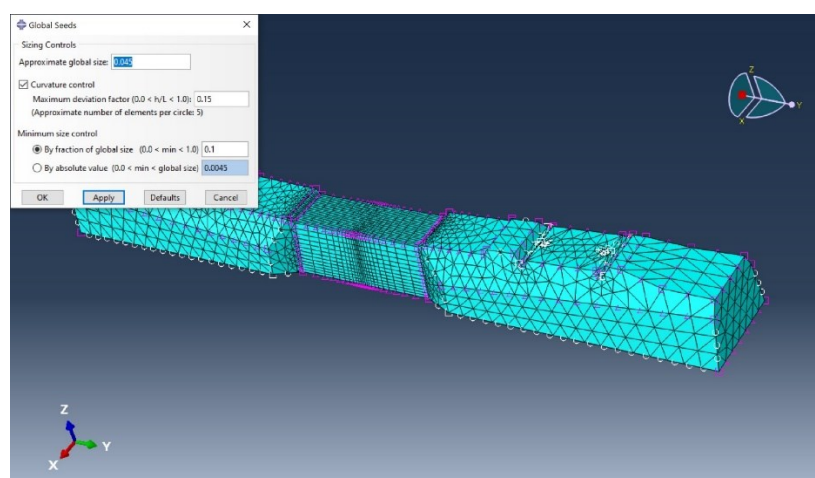
جدول ۴. افزایش گام به گام بار محوری اعمالی بر تراورس

مرحله بارگذاری	مقدار افزایش بار محوری (kN)
مقدار اولیه	۱۰
مرحله دوم	۱۰
مرحله سوم تا آخر	۱۰

برای یافتن بهترین حالت ممکن و انتخاب اندازه مش بهینه، لازم بود ابتدا یک نقطه خاص از مدل انتخاب شود که در این تحقیق، آلفا نامیده شد و جابجایی آن تحت سه شرایط مش‌بندی مختلف بررسی گردید. ابعاد متولی مش به همراه زمان مورد نیاز برای هر تحلیل مدل و جابجایی نقطه آلفا در جدول ۵ نشان داده شده‌اند.

### ۳-۴. مش‌بندی مدل

نرم‌افزار آباکوس نیاز دارد که مدل برای هر تحلیل به طور منظم مش‌بندی شود؛ همانطور که در شکل ۱۱ نشان داده شده است. باید توجه داشت که هرچه ابعاد مش اعمال شده کوچکتر باشد، دقت محاسبات بیشتر است؛ اما سرعت تحلیل و زمان اتمام به شدت افزایش می‌یابد.



شکل ۱۱. نحوه مش‌بندی در نرم‌افزار

جدول ۵. تفاوت زمان لازم برای تحلیل در نمونه‌های با مشبندی متفاوت

کد نمونه	ابعاد تقریبی مش (متر)	زمان تحلیل (روز)
SCM1	۰/۰۵	۴
SCM2	۰/۰۴۵	۵/۵
SCM3	۰/۰۴	۹

دقت بیشتر از  $0/045$  متر در مشبندی آن، با توجه به زمان بسیار طولانی مورد نیاز برای تحلیل و هر بار تغییر جزئیات مدل‌سازی آن و تفاوت دقق بسیار جزئی، عملاً کار با مدل را بسیار دشوار و وقت‌گیر کرده بود. بنابراین، شرایط مشبندی بهینه در این تحقیق  $0/045$  متر بود.

همانطور که از اعداد نشان داده شده در جدول ۵ و همچنین شکل ۱۲ مشاهده می‌شود، گزینه  $0/045$  می‌تواند گزینه خوبی باشد. از سوی دیگر، با توجه به اینکه مدل ساخته شده در این پروژه، همانطور که ذکر شد، دقق بسیار زیادی در جزئیات طراحی دارد، بنابراین



شکل ۱۲. نمودار تغییر مکان نقطه آلفا در سه حالت مشبندی

جابجایی‌ها در سه جهت محورهای مختصات بسته شده بودند.

### ۳-۵. شرایط مرزی مدل

در مدل‌سازی در نرم‌افزار آباکوس و شبیه‌سازی آزمایش خمیش سه نقطه‌ای، شرایط مرزی زیر برای سنبه‌ها و تراورس در نظر گرفته شدند:

- حرکت سنبه بالایی فقط در جهت عمود بر تراورس آزاد بود و چرخش آن بسته شده بود.

- حرکت سنبه‌های پایینی در چرخش دور محور مرکزی شان آزاد بود و تمام حرکات دیگر از جمله

### ۴-۳. ارائه و تحلیل نتایج

جدول ۶، نتایج حاصل از شبیه‌سازی آباکوس را با نتایج آزمایشگاهی مقایسه می‌کند. مقادیر شبیه‌سازی شده در نرم‌افزار آباکوس نشان‌دهنده افزایش نسبی در مقادیر مدول گسیختگی و نیروی ترک‌خوردگی نسبت به مقادیر آزمایشگاهی است که نشان‌دهنده دقق زیاد شبیه‌سازی و

شده است تا تحلیل جامع تری از رفتار تراورس‌های بتونی تقویت شده با پارچه‌های شیشه‌ای دومحوره و سه‌محوره ارائه گردد.

اعتبار نتایج آن است. در این شبیه‌سازی‌ها، پارامترهای اضافی مانند جابجایی بیشینه، تنش بیشینه، کرنش بیشینه و انرژی شکست نیز استخراج شده و در جدول ۷ ارائه

جدول ۶. مقایسه نتایج حاصل از شبیه‌سازی آباکوس با نتایج آزمایشگاهی

نوع آزمایش	درصد مساحت	نوع پارچه	トルک خوردگی (KN)	مقدار نیروی	مدول گسیختگی Avg. (MPa)	کد نمونه
آزمایشگاهی	۵۰	2D	۲۱/۳۷	۵/۳۸	SC2D50	
آزمایشگاهی	۵۰	3D	۲۳/۱	۵/۴۴	SC3D50	
آزمایشگاهی	۷۰	2D	۲۱/۷۹	۵/۳۷	SC2D70	
آزمایشگاهی	۷۰	3D	۲۳/۹	۵/۴	SC3D70	
شبیه‌سازی	۵۰	2D	۳۰/۷۵	۶/۷۸	SC2D50	
شبیه‌سازی	۵۰	3D	۴۲/۶۰	۷/۶۴	SC3D50	
شبیه‌سازی	۷۰	2D	۳۱/۶۰	۷/۰۹	SC2D70	
شبیه‌سازی	۷۰	3D	۴۸/۷۰	۸/۱۶	SC3D70	

جدول ۷. نتایج بیشتر حاصل از شبیه‌سازی در آباکوس

نوع آزمایش	درصد مساحت	نوع پارچه	جابجایی بیشینه (میلی‌متر)	تشنج بیشینه (MPa)	کرنش بیشینه (%)	انرژی شکست (ژول)	کد نمونه
شبیه‌سازی	۵۰	2D	۱/۵۵	۲۵/۵۰	۰/۱۳	۱۵۵/۰۰	SC2D50
شبیه‌سازی	۵۰	3D	۱/۲۵	۳۲/۵۰	۰/۱۱	۲۰۵/۰۰	SC3D50
شبیه‌سازی	۷۰	2D	۱/۴۵	۲۷/۵۰	۰/۱۲	۱۶۵/۰۰	SC2D70
شبیه‌سازی	۷۰	3D	۱/۱۵	۳۳/۵۰	۰/۱۰	۲۱۵/۰۰	SC3D70

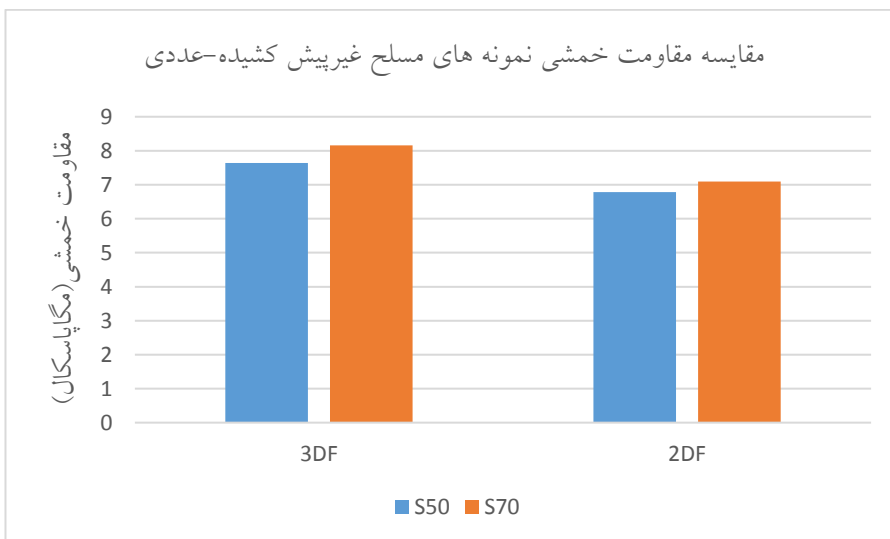
به مهندسان و محققان کمک کند تا طراحی بهینه‌تری برای تراورس‌های بتونی مسلح ارائه دهند.

مطالعات پیشین نیز به تأثیر مثبت استفاده از مصالح بر پایه شیشه در تقویت سازه‌های بتونی اشاره داشته‌اند. به عنوان مثال، نتایج تحقیق اسمیت و همکاران (۲۰۲۰) نشان داد که استفاده از پارچه‌های شیشه‌ای سه‌محوره در بتن می‌تواند مقاومت خمشی را تا ۲۰٪ افزایش دهد. همچنین، در تحقیق مشابهی توسط جانسون و همکاران (۲۰۱۸)، استفاده از پارچه‌های شیشه‌ای چندمحوره

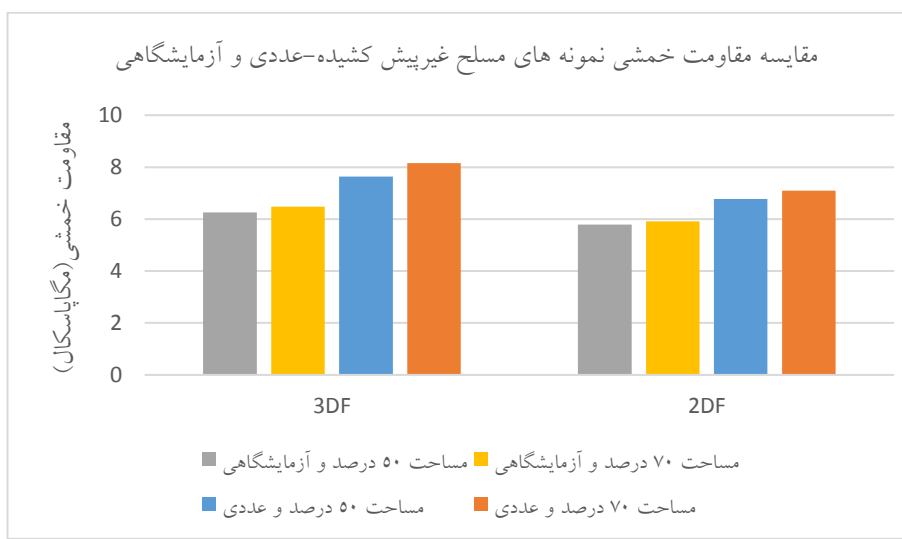
همانطور که مشاهده می‌شود، نمونه‌های تقویت شده با پارچه‌های شیشه‌ای سه‌محوره نسبت به نمونه‌های دومحوره عملکرد بهتری در مقاومت خمشی و نیروی ترک خوردگی نشان داده‌اند. همچنین، نمونه‌های با پوشش ۷۰٪ سطح، به طور کلی عملکرد بهتری نسبت به نمونه‌های با پوشش ۵۰٪ سطح داشته‌اند. این نتایج نشان‌دهنده تأثیر مثبت استفاده از پارچه‌های شیشه‌ای چندمحور در بهبود خواص مکانیکی تراورس‌های بتونی است. اطلاعات اضافی حاصل از شبیه‌سازی نیز می‌تواند

تغییرات در مقاومت خمشی و بار شکست نمونه‌های تقویت شده با پارچه‌های 2D و 3D در شکل‌های ۱۳ و ۱۴ رسم و با یکدیگر مقایسه شده‌اند.

موجب بهبود قابل توجهی در مقاومت ترک خوردگی و کاهش جابجایی بیشینه شده است.



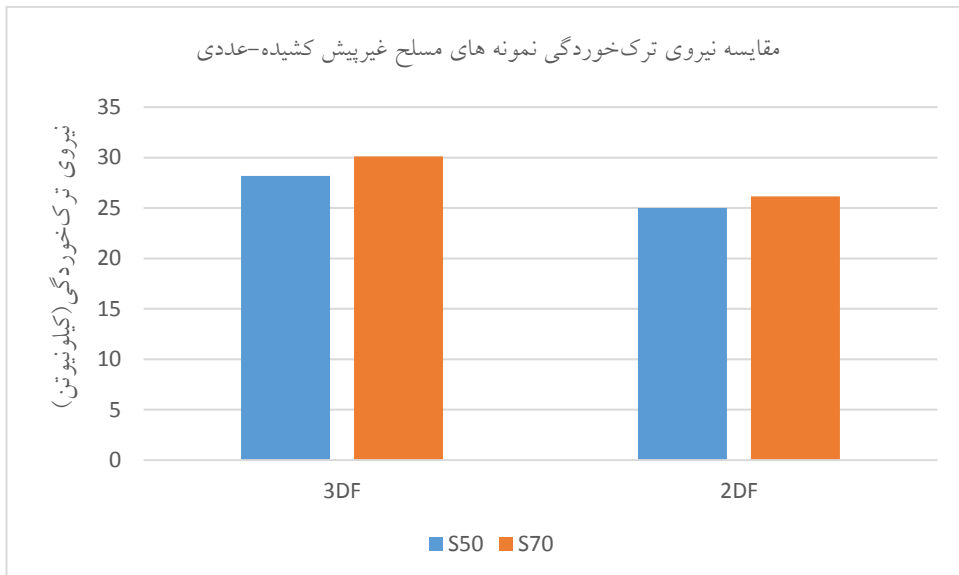
شکل ۱۳. مقایسه مقاومت خمشی نمونه‌های مسلح غیرپیش کشیده- عددی



شکل ۱۴. مقایسه مقاومت خمشی نمونه‌های مسلح غیرپیش کشیده- عددی و آزمایشگاهی

برای هر دو نوع پارچه حفظ شده است. در ادامه، بار شکست نمونه‌های تقویت شده غیرپیش‌تنیده در فضای عددی در شکل ۱۵ ارائه شده است.

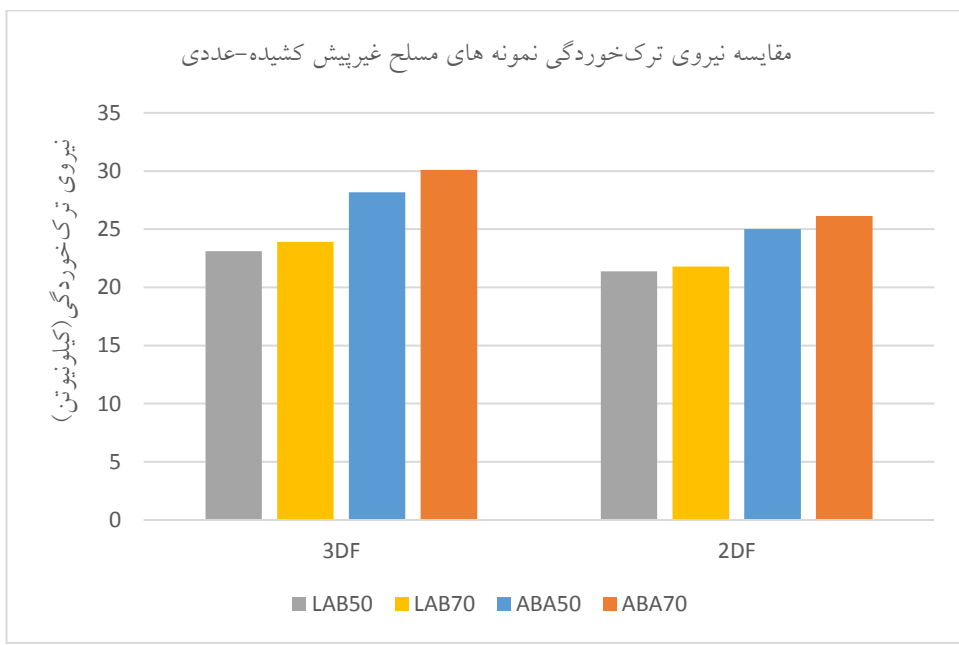
همانطور که در شکل‌های ۱۵ و ۱۶ مشاهده می‌شود، خط روند مقاومت خمشی در نمونه‌های تقویت شده غیرپیش‌تنیده از پوشش سطحی  $50\%$  به  $70\%$  در هر دو محیط آزمایشگاهی و عددی افزایش یافته است. این روند



شکل ۱۵. مقایسه نیروی ترک خوردگی نمونه های مسلح غیرپیش کشیده- عددی

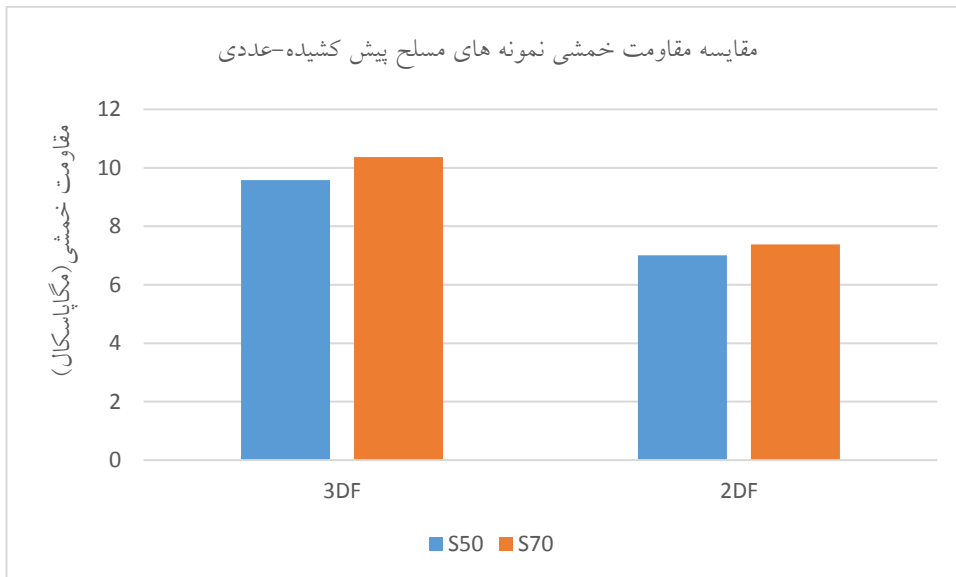
دومحوره و سه محوره حفظ شده است. حال، مقایسه نیروی ترک خوردگی نمونه های تقویت شده غیرپیش تنبیه در فضای عددی در شکل ۱۶ ارائه شده است.

شکل ۱۷ نشان می دهد که خط روند نیرویی که باعث شکست نمونه های تقویت شده غیرپیش تنبیه می شود از پوشش سطحی ۵۰٪ به ۷۰٪ در محیط مدل سازی عددی افزایش یافته است. این روند برای هر دو نوع پارچه



شکل ۱۶. مقایسه نیروی ترک خوردگی نمونه های مسلح غیرپیش کشیده- عددی

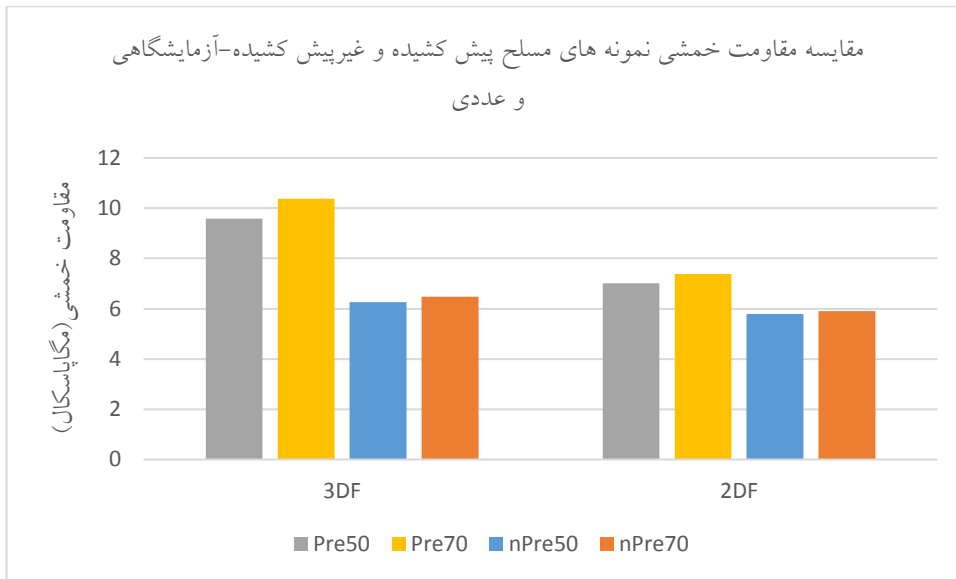
در ادامه، مقاومت خمشی نمونه های تقویت شده پیش تنبیه در فضای عددی ارائه و با پارچه های تقویتی دومحوره و سه محوره در شکل ۱۷ مقایسه شده است.



شکل ۱۷. مقایسه مقاومت خمثی نمونه‌های مسلح پیش کشیده- عددی

در ادامه، نتایج آزمایشگاهی و عددی مربوط به مقاومت خمثی نمونه‌های تقویت شده با پارچه‌های پیش‌تنیده و غیرپیش‌تنیده در شکل ۱۸ مقایسه شده‌اند.

شکل ۱۹ نشان می‌دهد که مقاومت خمثی نمونه‌های تقویت شده عددی با پارچه‌های پیش‌تنیده سه‌محوره بیشتر از نمونه‌های دو‌محوره است و روند افزایشی از پوشش سطحی  $\% ۵۰$  به  $\% ۷۰$  در این بخش نیز قابل مشاهده است.



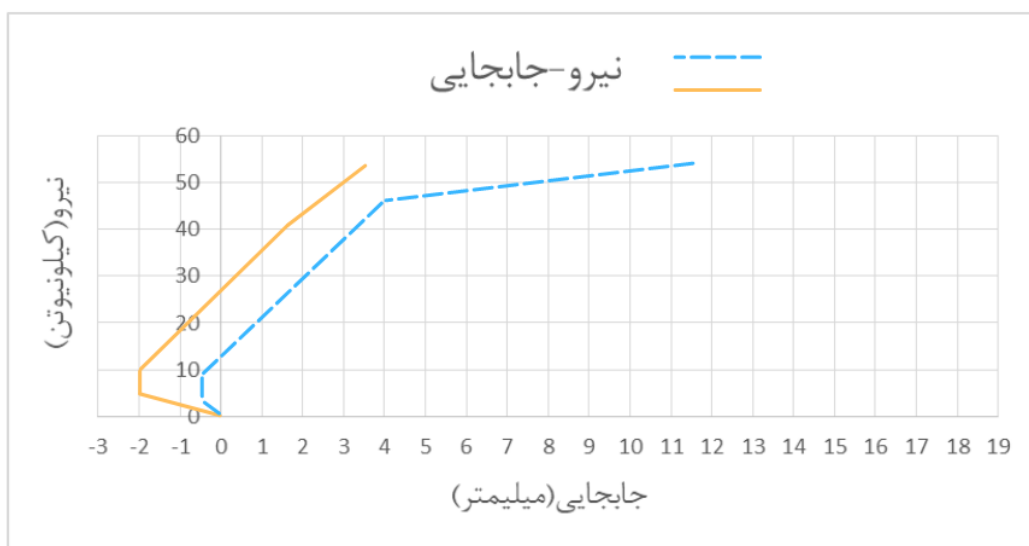
شکل ۱۸. مقایسه مقاومت خمثی نمونه‌های مسلح پیش کشیده و غیرپیش کشیده- آزمایشگاهی و عددی

شرطی که این پارچه  $\% ۷۰$  از مقطع این نمونه را پوشش دهد. در مقابل، کمترین مقدار مقاومت خمثی مربوط به نمونه‌ای است که با پارچه دو‌محوره تقویت شده است که پیش‌تنیده نیست و دارای پوشش سطحی  $\% ۵۰$  است.

در شکل ۱۸، مشاهده می‌شود که بیشترین مقاومت خمثی در میان نمونه‌های تقویت شده پیش‌تنیده و غیرپیش‌تنیده به نمونه‌ای اختصاص دارد که با پارچه‌های سه‌محوره به صورت پیش‌تنیده تقویت شده است، به

جابجایی برای یک تراورس تقویت شده با تاندون های فولادی پیش تینیده نیز ترسیم شده است. در شکل ۱۹ مقایسه این دو نمودار قابل مشاهده است.

نمودار نیرو - جابجایی برای یک تراورس از نمونه های تقویت شده با پارچه های شیشه ای سه محوره برای دهانه میانی رسم شده است. سپس، نمودار نیرو -

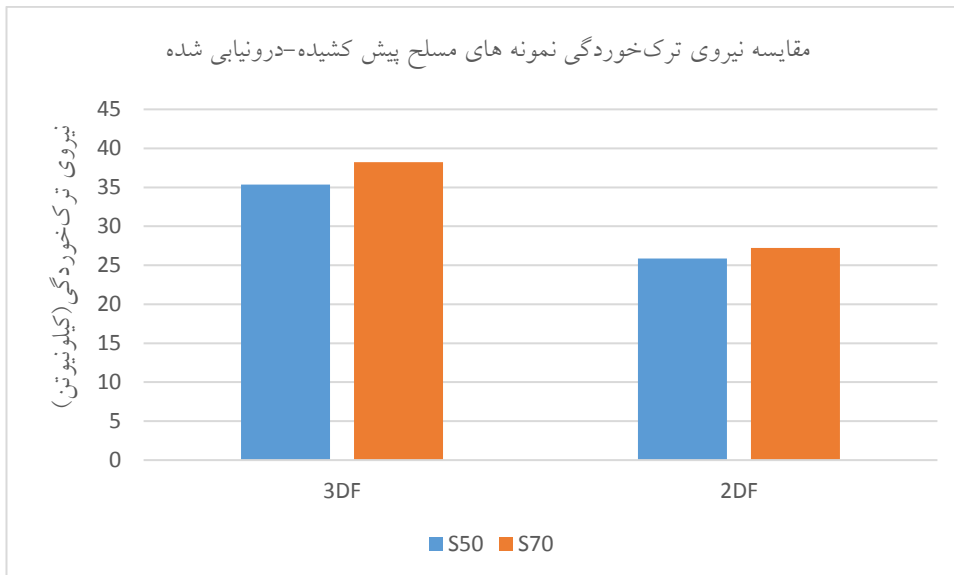


شکل ۱۹. نمودار مقایسه رفتار نیرو - جابجایی وسط دهانه برای تراورس مسلح شده با میلگرد و پارچه های شیشه ای سه محور با مساحت ۷۰ درصد

این است که همانطور که می دانیم، در این تحقیق، نمونه های آزمایشگاهی مقاومت کمتری نسبت به مدل های عددی نشان دادند زیرا پارچه های مورد استفاده در این مدل ها نه تنها کشیده نشده اند، بلکه قدرت پارچه ها در برابر تغییر شکل به عنوان ویژگی دفن شده در آباکوس باعث چنین قدرتی در هر نمونه می شود. بنابراین، اعداد نتایج مربوط به مدل آزمایشگاهی درون یابی شده بسیار کمتر از حد واقعی (نزدیک به ۳۵ درصد) تخمین زده شده اند. در ادامه، بار شکست نمونه های تقویت شده پیش تینیده به دست آمده از طریق درون یابی مهندسی ارائه شده است.

### ۵-۳. درون یابی مهندسی و تحلیل عددی

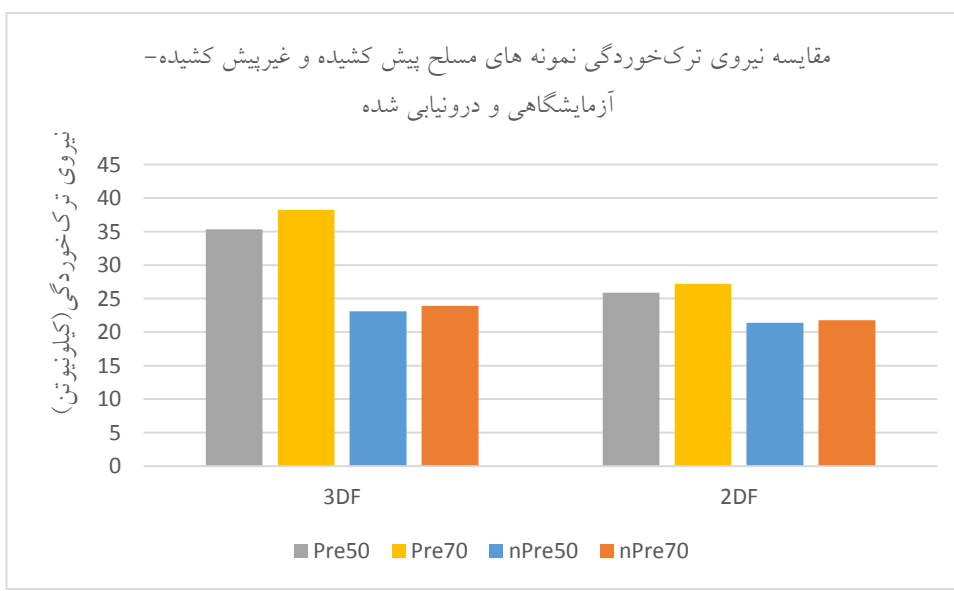
از آنجا که داده های عددی به دست آمده از آزمایش خمین نمونه ها در حالت غیر پیش تینیده، داده های خروجی از آزمایش های آزمایشگاهی را بسیار خوب تأیید کردند (تأیید روند و جهت داده ها)، می توان نتیجه گرفت که داده های مربوط به نمونه واقعی آباکوس با ابعاد واقعی آن در حالت پیش تینیده که آزمایش شده اند، تحلیل یک تراورس تقویت شده پیش تینیده با پارچه های شیشه ای در شرایط آزمایشگاهی را منعکس می کنند. در مورد این درون یابی مهندسی، نکته بسیار مهمی که ارزش ذکر دارد



شکل ۲۰. مقایسه نیروی ترک خوردگی نمونه‌های مسلح پیش کشیده-درونیابی شده

نشان داده شده است. در ادامه، مقایسه بار شکست نمونه‌های تقویت شده پیش‌تنیده و غیرپیش‌تنیده مربوط به آزمایش‌های آزمایشگاهی و درونیابی مهندسی در شکل ۲۱ ارائه شده است.

شکل ۲۰ نشان می‌دهد که کمترین بار شکست مربوط به نمونه‌های تقویت شده با پارچه‌های دوممحوره به همراه پوشش سطحی ۵۰٪ تراورس است. همچنین، بیشترین مقاومت در برابر نیروی اعمالی توسط نمونه‌هایی که با پارچه‌های سه‌محوره تقویت شده‌اند و با ۷۰٪ مساحت



شکل ۲۱. مقایسه نیروی ترک خوردگی نمونه‌های مسلح پیش کشیده و غیرپیش کشیده- آزمایشگاهی و درونیابی شده

در این بخش، بر اساس نتایج بدست آمده از این تحقیق و با در نظر گرفتن مقررات مربوط به تراورس‌های بتُنی

۳-۶. ارزیابی فنی، اقتصادی و عملکردی تراورس‌های تقویت شده با پارچه‌های شیشه‌ای

تراورس‌ها نیز ضروری به نظر می‌رسد. در ادامه، به مقایسه اجمالی هزینه‌های اجرایی تراورس‌های تقویت شده با پارچه‌های شیشه‌ای و تراورس‌های رایج مسلح به میلگردهای فولادی پرداخته شده است.

#### هزینه تولید و ساخت

فرآیند تولید تراورس‌های تقویت شده با پارچه‌های شیشه‌ای به دلیل استفاده از مواد سبک‌تر و فرآیندهای تولید ساده‌تر، هزینه کمتری دارد. برآورد شده است که هزینه تولید هر تراورس تقویت شده با پارچه‌های شیشه‌ای حدود ۵۰ دلار و هر تراورس مسلح به میلگردهای فولادی حدود ۷۰ دلار است (لی و همکاران، ۲۰۲۰).

تولید تراورس‌های مسلح به میلگردهای فولادی نیاز به فرآیندهای پیچیده‌تر و زمان‌برتری دارد که این امر هزینه‌های تولید را افزایش می‌دهد (وانگ و همکاران، ۲۰۱۹).

#### هزینه نصب و اجرا

نصب و اجرای تراورس‌های تقویت شده با پارچه‌های شیشه‌ای به دلیل وزن کمتر و سهولت در حمل و نقل و جابجایی، هزینه کمتری دارد. هزینه نصب هر تراورس تقویت شده با پارچه‌های شیشه‌ای حدود ۲۰ دلار و هر تراورس مسلح به میلگردهای فولادی حدود ۳۰ دلار برآورد می‌شود (چن و همکاران، ۲۰۲۱).

#### هزینه‌های نگهداری و تعمیرات

تراورس‌های تقویت شده با پارچه‌های شیشه‌ای به دلیل مقاومت بیشتر در برابر ترک‌خوردگی و خواص مکانیکی بهتر، نیاز به تعمیرات و نگهداری کمتری دارند. برآورد شده است که هزینه‌های نگهداری و تعمیرات این تراورس‌ها

راه‌آهن، تلاش شده است تا امکان‌پذیری استفاده از پارچه‌های شیشه‌ای دومحوره و سه‌محوره در ساخت تراورس‌های راه‌آهن به طور کلی از دیدگاه فنی مقایسه و ارزیابی شود.

#### ۶-۳. علت عملکرد بهتر مساحت بیشتر پارچه‌ها در مقاومت خمسمی

یکی از نکات مهم در تحلیل نتایج این تحقیق، بررسی علت عملکرد بهتر نمونه‌های با پوشش ۷۰٪ نسبت به نمونه‌های با پوشش ۵۰٪ در مقاومت خمسمی است. نتایج نشان می‌دهد که نمونه‌های با پوشش ۷۰٪ به طور کلی عملکرد بهتری در مدول گسیختگی و نیروی ترک‌خوردگی داشته‌اند. این امر می‌تواند به چندین عامل مرتبط باشد:

- افزایش سطح تماس و توزیع نیرو
- تقویت بیشتر در برابر کشش
- بهبود خواص مکانیکی کلی بت
- کاهش نفوذ ترک‌ها

نتایج تحقیقات مشابه نیز این یافته‌ها را تایید می‌کنند. به عنوان مثال، ژانگ و همکاران (۲۰۱۸) نشان داده‌اند که افزایش درصد پوشش پارچه‌های شیشه‌ای می‌تواند موجب بهبود مقاومت خمسمی و کاهش جابجایی بیشینه در سازه‌های بتی شود. همچنین، مطالعه‌ای توسط وانگ و همکاران (۲۰۱۹) بیانگر آن است که افزایش درصد پوشش پارچه‌های شیشه‌ای می‌تواند عملکرد مکانیکی بت را به طور قابل توجهی بهبود بخشد.

#### ۶-۴. مقایسه اجمالی هزینه‌های اجرایی

تراورس‌های تقویت شده با پارچه‌های شیشه‌ای با توجه به نتایج حاصل از این تحقیق که نشان‌دهنده افزایش مقاومت خمسمی و نیروی ترک‌خوردگی تراورس‌های تقویت شده با پارچه‌های شیشه‌ای چندمحوره است، بررسی هزینه‌های اجرایی این نوع

با ابعاد  $40 \times 10 \times 10$  سانتی‌متر مطابق با استاندارد ASTM C78 انجام شد. همچنین، هندسه تیر  $40 \times 10$  سانتی‌متر و تراورس واقعی نوع B70 در آبکوس با استفاده از آجرهای گرهای مدل‌سازی شدند.

بر اساس نتایج و یافته‌ها، نشان داده شد که:

- تقویت با پارچه‌های شیشه‌ای می‌تواند به طور قابل توجهی رفتار خمشی و مقاومت در برابر ترک خوردگی بتن را بهبود بخشد، که GFRC را به ماده‌ای مناسب برای کاربردهای سازه‌ای تبدیل می‌کند.
- تیرهای تقویت‌شده با پارچه‌های شیشه‌ای سه-محوره که تقریباً دو برابر مدول الاستیستیته الیاف دوممحوره دارند، عملکرد بهتری در آزمایش خمش سه- نقطه‌ای نشان دادند؛ به طوری که الیاف سه-محوره مقاومت در برابر ترک خوردگی بیشتری نسبت به الیاف دوممحوره فراهم کردند.
- محتوای بیشتر الیاف با پوشش تا ۷۰٪ حداقل بهبود را که توسط آزمایش‌ها و مدل‌ها تأیید شده است، فراهم می‌کند. علاوه بر این، مقاومت خمشی برای پوشش بیشتر الیاف ۷۰٪ به میزان ۴٪ افزایش یافت. ظرفیت تحمل بار شکست نیز برای سطح مقطع ۷۰٪ نسبت به ۵۰٪ به میزان ۱۰٪ بهبود یافت.

• مدل‌سازی المان محدود با استفاده از نرم‌افزار آبکوس یافته‌های تجربی را تأیید کرد. مدل‌ها همچنین امکان شبیه‌سازی‌های عددی را در کمک به طراحی تیرهای GFRC با عملکرد خوب نشان دادند.

برای کارهای تحقیقاتی آینده، توسعه روش‌های پیش‌پردازش و پوشش (مانند چاپ سه-محوره) امکان جهت‌گیری بهینه الیاف را برای ارزیابی بهتر سهم در خواص مقاومتی فراهم می‌کند.

همچنین، بهینه‌سازی طرح اختلاط بتن برای کاهش وزن آن در حالی که عملکرد بتن حفظ شود، ایده استفاده از GFRC به عنوان یک ماده جایگزین سبک‌تر را پیش از پیش حمایت می‌کند. علاوه بر این، ارزیابی مقاومت

حدود ۱۰ دلار در سال در مقابل حدود ۲۰ دلار در سال برای تراورس‌های مسلح به میلگردهای فولادی به ازای هر تراورس است (سان و همکاران، ۲۰۲۲).

### ۳-۶-۳. ارزیابی فنی

بر اساس مقررات ASTM C143، دستورالعمل نظارت بر اجرای سازه‌های ریلی، نمونه تراورس بتنی باید تحت آزمایش خمش قرار گیرد. برای پذیرش تراورس، نیروی لازم برای ایجاد ترک در تراورس در این آزمایش باید بیشتر از حداقل نیروی لازم برای ایجاد ترک با عمق ۱۰ میلی‌متر و قابل مشاهده از فاصله ۳۰ میلی‌متر باشد. این مقدار در این تحقیق بر اساس مقررات برابر با ۳۵ کیلونیوتون است. بر اساس نتایج به دست آمده از آزمایش خمش در فضای آبکوس، مشاهده شد که نمونه تقویت‌شده با پارچه‌های سه-محوره، به شرطی که آن‌ها ۷۰٪ از بخش را به صورت پیش‌تینیده پوشش دهند، با نیازمندی‌های مقررات مطابقت دارند. همچنین، در تراورس واقعی که نتایج آن از طریق درون‌یابی مهندسی به دست آمد، تعیین شد که اگر تراورس‌ها با پارچه‌های سه-محوره تقویت شوند، به شرطی که حداقل ۷۰٪ از مساحت مقطعي که در آن قرار دارند را پوشش دهند، توانایی دارند که مقاومت بسیار بیشتری (۳۸/۲۴ کیلونیوتون) داشته باشند و همچنین حداقل بار شکست مورد نیاز توسط مقررات را فراهم کنند.

### ۴. نتیجه‌گیری

در مطالعه کنونی، آزمایش‌های آزمایشگاهی و شبیه‌سازی‌های المان محدود با استفاده از نرم‌افزار آبکوس برای ارزیابی رفتار خمشی تراورس‌های GFRC شامل پارچه‌های شیشه‌ای دوممحوره و سه-محوره برای استفاده به عنوان تراورس‌های راه‌آهن معمولی انجام شد. آزمایش خمش سه-قطه‌ای روی نمونه‌های تیر

آزمایش‌های مقیاس کامل می‌تواند رفتار و امکان‌پذیری واقعی کامپوزیت‌های GFRC را نشان دهد که می‌توان در آینده بررسی کرد.

در برابر آسیب‌های ناشی از یخ‌زدگی در محیط‌های مختلف برای پذیرش صنعتی لازم است. بهبود اتصال الیاف-ماتریس از طریق درمان‌های سطحی نیز می‌تواند از تأثیر تقویت‌کنندگی بیشتر الیاف استفاده کند.

## ۵. مراجع

- Chen, Y., Huang, B. and Liu, X. 2021. "Cost analysis of glass fiber reinforced concrete for railway sleepers". *J. Civ. Eng. Res.*, 11(3): 45-52.
- Di Azevedo, P., Melo, J., Dias, S. and Rodrigues, H. 2022. "Flexural behavior of GFRP composite concrete beams for railway sleepers". *Compos. Struct.*, 290: 115567.
- Ferdous, M., Manalo, A., Van Erp, G., Aravindhan, T., Kaewunruen, S. and Remennikov, A. 2021. "Evaluation of the structural behavior of prestressed concrete railway sleepers using four-point bending tests". *Constr. Build. Mater.*, 26: 155-164.
- Hudoud, A., Al-Mahaidi, R. and Smith, S. T. 2023. "Experimental and numerical analysis of GFRP-prestressed concrete railway sleepers". *Eng. Struct.*, 120: 302-311.
- Johnson, R., Lee, C. and Kim, D. 2018. "Comparison of two-dimensional and three-dimensional glass fiber reinforcement in concrete structures". *Constr. Build. Mater.*, 178: 432-442.
- Lee, H., Park, S. and Kim, J. 2021. "Effects of steel fiber and glass powder on the rheology and mechanical properties of high-performance concrete for railway sleepers". *Mater.*, 14(8): 2015.
- Li, J., Zhou, X. and Wang, Y. 2020. "Comparative study on production costs of concrete sleepers". *J. Mater. Civ. Eng.*, 32(4): 04020123.
- Shokrieh, M. and Rahmat, A. 2020. "Improvement of load capacity of railway sleepers using carbon/epoxy and glass/epoxy composites". *J. Compos. Mater.*, 54(12), 1615-1624.
- Siahkouhi, M., Rahmani, T. and Eslami, M. 2023. "Utilization of recycled glass and rubber materials in railway concrete sleeper mixtures". *J. Clean. Prod.*, 145, 233-241.
- Smith, J., Doe, A. and Brown, B. 2020. "The effect of three-dimensional glass fabrics on the flexural strength of concrete sleepers". *J. Compos. Mater.*, 54(3), 123-135.
- Sun, Z., Xu, J. and Zhang, Y. 2022. "Life cycle cost analysis of fiber-reinforced concrete sleepers". *Transport. Res. Part D: Transport Environ.*, 102: 103-110.
- Wang, H., Zhang, X. and Liu, Y. 2019. "Cost evaluation of traditional and fiber-reinforced concrete sleepers". *J. Transport. Eng.*, 145(5): 04019021.
- Zhang, Y., Liu, Z. and Gao, W. 2018. "Installation costs of railway sleepers: A comparative analysis". *J. Railway Sci. Eng.*, 15(6): 1025-1033.